

доля атомов железа находится в регулярных, не иска-  
женных дефектами областях кристаллической решетки,  
поэтому при эксперименте обнаруживается синглэт  
матрицы стали (*b*, *e*). Уширение этого синглэта может  
быть связано с концентрационной неоднородностью,  
вызванной образованием радиационных дефектов в об-  
лученном аустените. Появление второй сильно уширен-  
ной линии (*e*) указывает, что часть атомов железа  
входит в новую фазу, образовавшуюся под воздействием  
нейтронного облучения.

В закаленной стали ЭИ-69, облученной быстрыми  
нейтронами, образуется значительно больше дефектов,  
чем в стали, облученной  $\gamma$ -квантами (в данном случае  
 $5 \cdot 10^{20}$  и  $1,2 \cdot 10^{17}$  соответственно). Такими дефектами  
могут быть, например, скопления вакансий [3], которые  
способствуют появлению частиц выделений в закален-  
ной стали, причем на начальной стадии облучения  
основным зародышем выделений является атом железа,  
связанный с двумя атомами углерода [4]. Можно пред-  
положить образование указанных выше выделений  
и в закаленной стали ЭИ-69 под действием нейтронно-  
го облучения. Тогда линия с изомерным сдвигом  
 $\delta = 0,62 \pm 0,05$  мм/с может быть вызвана присутствием  
метастабильной карбидной фазы  $M_{23}C_n$ , изомерный  
сдвиг которой близок к  $Fe_5C_2$  [5].

УДК 621.039.51

## Влияние температуры на пористость в никеле при облучении ионами никеля

ЛЕБЕДЕВ С. Я., ПАНИН С. Д.

В работах [1,2] исследовалось влияние гелия на про-  
цесс образования пор в никеле и зависимость радиа-  
ционной пористости от дозы облучения ионами никеля  
при постоянной температуре образца ( $500^{\circ}\text{C}$ ).

В настоящем сообщении рассматривается развитие  
пористости при различной температуре мишени. Методика  
приготовления образцов и методика облучения  
аналогичны применявшимся ранее. Образцы технически  
чистого никеля толщиной 0,15 мм предварительно отжи-  
гали в вакууме при температуре  $800^{\circ}\text{C}$  в течение 1 ч.  
Облучение ионами никеля с энергией 46 кэВ прово-  
дилось при плотности тока  $3 \text{ мкА}/\text{см}^2$  до дозы  
 $1,6 \cdot 10^{17}$  ион/ $\text{см}^2$ , соответствующей примерно 40 смеше-  
ниям на атом [3]. Средняя продолжительность облу-  
чения составляла 2,3 ч. Температура образцов изменя-  
лась в интервале  $350$ – $700^{\circ}\text{C}$ .

### Результаты исследования облученных образцов

Температура, $^{\circ}\text{C}$	Концентрация пор, $\text{см}^{-3}$	Размер пор, $\text{\AA}$	Распухание, %
400	$4,5 \cdot 10^{17}$	20	0,22
450	$1,85 \cdot 10^{16}$	70	1,25
500	$1,46 \cdot 10^{16}$	100	2,45
550	$1,05 \cdot 10^{16}$	165	8,2
600	$3 \cdot 10^{15}$	340	12,1
650	$7 \cdot 10^{13}$	550	5,6
700	$5,75 \cdot 10^{12}$	1600	1,25

В результате отпуска при температуре  $500^{\circ}\text{C}$  в тече-  
ние 30 мин метастабильная карбидная фаза в  
стали ЭИ-69, облученной быстрыми нейтронами, пере-  
ходит в устойчивую фазу  $Me_{23}C_6$ , о чем свидетельствует  
появление в спектрах линии с изомерным сдвигом  
 $\delta = 0,96 \pm 0,03$  мм/с (*g*) [6]. В необлученных образцах  
выделений карбидной фазы  $Me_{23}C$  при данной темпе-  
ратуре отпуска не наблюдалось.

Поступило в Редакцию 21/I 1976 г.

### СПИСОК ЛИТЕРАТУРЫ

1. Вьюнник И. М., Конозенко И. Д., Круликовская М. П. «Атомная энергия», 1974, т. 37, вып. 3, с. 245.
2. Вьюнник И. М., Круликовская М. П. Препринт КИЯИ-74-18, Киев, 1974.
3. Раецкий В. М., Вотинов С. Н. «Физ. металлов и метал-  
ловедение», 1970, т. 29, с. 284.
4. Damask A. e.a. «Philos. Mag.», 1970, v. 22, p. 549.
5. Химические применения мессбаузеровской спекто-  
скопии. М., «Мир», 1970, с. 164.
6. Вознюк П. О., Вьюнник И. М., Дубинин В. Н. «Физ. металлов и металловедение», 1973, т. 36,  
с. 1310.

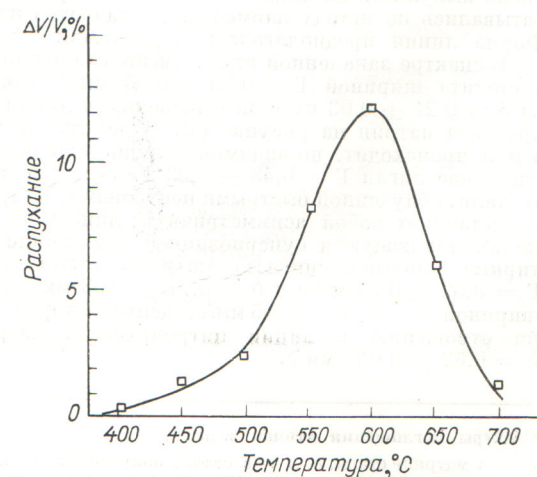


Рис. 1. Зависимость распухания никеля от температуры при облучении его ионами  $Ni^+$  дозой  $1,6 \cdot 10^{17}$  ион/ $\text{см}^2$

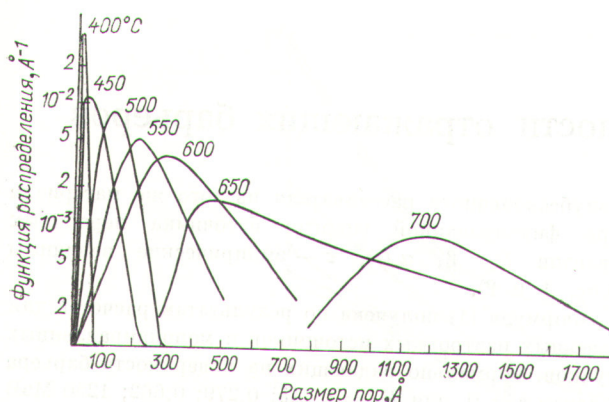


Рис. 2. Функция распределения пор по размерам в никеле для различных температур при облучении ионами  $\text{Ni}^+$  дозой  $1,6 \cdot 10^{17}$  ион/ $\text{см}^2$

так же как и поры, равномерно распределены по рассматриваемой площади образца. По мере увеличения температуры происходит рост пор и при  $700^{\circ}\text{C}$   $\langle d_p \rangle > 1600 \text{ \AA}$ . В то же время концентрация пор  $\langle N_p \rangle$  с увеличением температуры резко снижается. Это указывает, что на низкотемпературной границе образования пористости в условиях облучения постоянным потоком бомбардирующих частиц зарождающиеся кластеры вакансий, по-видимому, термически стабильны. Вследствие малой подвижности вакансий в матрице возникает большая концентрация мелких пор. По мере увеличения температуры подвижность вакансий возрастает и они более энергично образуют поры. Полученные экспериментальные данные согласуются с гомогенной теорией зарождения и развития вакансационной пористости в облученных металлах [4].

На рис. 1 представлена температурная зависимость распухания ( $\Delta V/V$ ) никеля. Довольно узкий пик распухания имеет максимум при температуре  $600^{\circ}\text{C}$ .

Максимальное изменение объема соответствует  $0,5 T_{\text{пл}} \text{К}$ . Наблюдаемый максимум распухания при  $600^{\circ}\text{C}$  хорошо согласуется с данными облучения никеля ионами никеля с энергией 500 кэВ [3]. Заметное распухание при температуре ниже  $500^{\circ}\text{C}$ , можно объяснить высокой концентрацией мелких пор.

На рис. 2 приведены функции распределения пор по размерам, полученные в результате обработки гистограмм для различных температур. Видно, что с ростом температуры функция уширяется и ее максимум сдвигается в сторону больших размеров. При этом обнаруживается некоторая несимметричность кривых, указывающая, что рост пор происходит за счет слияния мелких пор. Подобная зависимость согласуется с наблюдаемой для холоднообработанной нержавеющей стали M-316, облученной в реакторе DFR [5].

Функция распределения показывает, что по мере увеличения температуры облучения размеров пор увеличивается, а концентрация их становится меньше. Это подтверждает предположение о том, что не происходит зарождения новых пор, а продолжается рост пор, образовавшихся на начальной стадии облучения.

Поступило в Редакцию 9/III 1976 г.

#### СПИСОК ЛИТЕРАТУРЫ

- Лебедев С. Я., Панин С. Д., Руднев С. И. «Атомная энергия», 1975, т. 38, вып. 6, с. 426.
- Лебедев С. Я., Панин С. Д., Руднев С. И. «Атомная энергия», 1975, т. 39, вып. 5, с. 362.
- Delaplace J., Aram N., Le Naour L. «J. Nucl. Mater.», 1973, v. 47, № 3, p. 278.
- Конобеев Ю. В., Печенкин В. А. В сб.: Вопросы атомной науки и техники. Сер. физика радиационных повреждений и радиационное материаловедение. Вып. 1. Атомиздат, 1974, с. 41.
- Cawthorne C. e. a. In: Proc. Reading Conf. on Voids Formed by Irradiation of Reactor Materials, Harwell, BNES, 1971, p. 35.